

UDK 621.039.54.34

Termične napetosti v tabletu keramičnega gorivnega elementa

ANDRO ALUJEVIĆ

Deli reaktorjev so med obratovanjem obremenjeni z mehanskimi in s termičnimi silami (zaradi temperaturnih razlik). Veliko komponent reaktorjev ima obliko valja, bodisi da gre za polne ali votle valje. Poznati moramo torej porazdelitev temperatur, nato pa z enačbami termoelastičnosti določimo potek napetosti. Zaradi preprostosti bomo obravnavali samo osnosimetrične probleme oblike teles in poteka obremenitev. Radialni primer rešujemo lahko analitično, radialno-akselalni primer pa numerično z uporabo metode končnih elementov (rotacijsko simetričnih).

1. TEORIJA

1.1. Splošne enačbe

Pri obravnavanju termoelastičnosti imamo opravka s silami, napetostmi, deformacijami in pomiki:

(I) vektor sil

$$\mathbf{f} = \{X \ Y \ Z\} \quad (1)$$

(II) tenzor napetosti

$$\sigma_{ij} = \begin{bmatrix} \sigma_{11} & \tau_{12} & \tau_{13} \\ \tau_{21} & \sigma_{22} & \tau_{23} \\ \tau_{31} & \tau_{32} & \sigma_{33} \end{bmatrix}, \quad \tau_{ij} = \tau_{ji} \quad (2)$$

(III) tenzor deformacij

$$\varepsilon_{ij} = \begin{bmatrix} \varepsilon_{11} & \gamma_{12} & \gamma_{13} \\ \gamma_{21} & \varepsilon_{22} & \gamma_{23} \\ \gamma_{31} & \gamma_{32} & \varepsilon_{33} \end{bmatrix}, \quad \gamma_{ij} = \gamma_{ji} \quad (3)$$

(IV) vektor pomikov

$$\mathbf{u} = \{u \ v \ w\} \quad (4)$$

Med temi veličinami je 15 neznank (ker so znane bodisi sile ali pomiki). Zato potrebujemo 15 enačb, ki so v splošnem prostorskem primeru naslednje:

(I) ravnotežne enačbe

$$\operatorname{div} \sigma_{ij} + f = 0 \quad (5)$$

(II) kinematicne enačbe

$$\varepsilon_{ij} = \frac{1}{2} (\operatorname{grad} u + \partial u / \partial r) \quad (6)$$

(III) konstitutivne enačbe

$$\sigma_{ij} = S_{ijkl} (\varepsilon_{ij} - \alpha_{ij} T \delta_{ij}) \quad (7)$$

kjer je S_{ijkl} konstitutivna matrika (tenzor četrtega reda), α_{ij} tenzor termičnih raztezkov, T temperatura in δ_{ij} Kroneckerjeva funkcija.

Poleg tega morajo biti izpolnjeni še posebni kompatibilitetni pogoji, da bi bila zagotovljena enoličnost rešitve. Ta je potem odvisna od obremenitev in od vsakokratnih robnih pogojev.

Temperaturno porazdelitev v telesu imamo pri računanju termoelastičnosti za znano, če zanemarimo zvezo med deformacijami in topotnim viri.

Konstitutivno zvezo (7) nadomeščamo ponavadi s preprostejšim izrazom

$$\{\varepsilon\} = D^{-1} \{\sigma\} + \{\varepsilon^t\}, \quad \{\sigma\} = D(\{\varepsilon\} - \{\varepsilon^t\}) \quad (8)$$

kjer sta matriki v splošnem prostorskem primeru za izotropno linearne snov

$$D^{-1} = \begin{vmatrix} +1 & -\nu & -\nu & 0 & 0 & 0 \\ -\nu & +1 & -\nu & 0 & 0 & 0 \\ -\nu & -\nu & +1 & 0 & 0 & 0 \\ 0 & 0 & 0 & 1/G & 0 & 0 \\ 0 & 0 & 0 & 0 & 1/G & 0 \\ 0 & 0 & 0 & 0 & 0 & 1/G \end{vmatrix} \quad (9)$$

ozziroma

$$D = \begin{vmatrix} L+2G & L & L & 0 & 0 & 0 \\ L & L+2G & L & 0 & 0 & 0 \\ L & L & L+2G & 0 & 0 & 0 \\ 0 & 0 & 0 & G & 0 & 0 \\ 0 & 0 & 0 & 0 & G & 0 \\ 0 & 0 & 0 & 0 & 0 & G \end{vmatrix} \quad (10)$$

kjer so parametri: E = Youngov modul, ν = Poissonovo število, L in G Laméjevi konstanti

$$L = \frac{\nu E}{(1+\nu)(1-2\nu)} \quad \text{in} \quad G = \frac{E}{2(1+\nu)}$$

Izrazi $\{\sigma\}$, $\{\varepsilon\}$ in $\{\varepsilon^t\}$ pomenijo napetosti, deformacije in termične raztezke

$$\{\sigma\} = \{\sigma_{11} \ \sigma_{22} \ \sigma_{33} \ \tau_{12} \ \tau_{23} \ \tau_{31}\}$$

$$\{\varepsilon\} = \{\varepsilon_{11} \ \varepsilon_{22} \ \varepsilon_{33} \ 2\gamma_{12} \ 2\gamma_{23} \ 2\gamma_{31}\}$$

$$\{\varepsilon^t\} = \{\alpha_{11} \ \alpha_{22} \ \alpha_{33} \ \tau_{12} \ \tau_{23} \ \tau_{31}\}$$

v obliki stolpnih matrik.

1.2. Rotacijsko simetrični ravninski sistem

Če pri krožnih valjih zanemarimo obodno in vzdolžno odvisnost, dobimo namesto enačb (5), (6) in (8) poenostavljene izraze

(I) Ravnotežje

$$\frac{d\sigma_r}{dr} + \frac{\sigma_r - \sigma_\phi}{r} = 0 \quad (11)$$

(II) Kinematika (ravninsko deformacijsko stanje, $\varepsilon_z = \text{const}$)

$$\varepsilon_r = \frac{du}{dr} \quad (12)$$

$$\varepsilon_\phi = \frac{u}{r} \quad (13)$$

$$\text{ozziroma združeno } \frac{d}{dr}(r \varepsilon_\phi) = \varepsilon_r \quad (14)$$

(III) Konstitutivnost

$$\sigma_r = (L + 2G)(\varepsilon_r - \varepsilon_{r^t}) + L(\varepsilon_\phi - \varepsilon_{\phi^t} + \varepsilon_z - \varepsilon_{z^t}) \quad (15)$$

$$\sigma_\phi = (L + 2G)(\varepsilon_\phi - \varepsilon_{\phi^t}) + L(\varepsilon_r - \varepsilon_{r^t} + \varepsilon_z - \varepsilon_{z^t}) \quad (16)$$

Ustrezni robni pogoji so za

$$\begin{aligned} & \text{— polni valj} \quad u(r=0) = 0 \\ & \text{in} \quad \sigma_r(r=b) = -p_a \end{aligned} \quad (17)$$

$$\begin{aligned} & \text{— votli valj} \quad \sigma_r(r=a) = -p_a \\ & \text{in} \quad \sigma_r(r=b) = -p_b \end{aligned} \quad (18)$$

kjer sta p_a tlak na notranjem plašču in p_b tlak na zunanjem plašču valja.

1.3. Rotacijsko simetrični prostorski primer

Ustrezne enačbe rotacijskih teles se glasijo

(I) Ravnotežje

$$\frac{\partial \sigma_r}{\partial r} + \frac{\partial \tau_{rz}}{\partial z} + \frac{\sigma_r - \sigma_\phi}{r} = 0 \quad (19)$$

$$\frac{\partial \tau_{rz}}{\partial r} + \frac{\partial \sigma_z}{\partial z} + \frac{\tau_{rz}}{r} = 0 \quad (20)$$

(II) Kinematika

$$\varepsilon_r = \frac{\partial u}{\partial r} \quad (21)$$

$$\varepsilon_\phi = \frac{u}{r} \quad (22)$$

$$\varepsilon_z = \frac{\partial w}{\partial z} \quad (23)$$

$$\gamma_{rz} = \frac{1}{2} \left(\frac{\partial u}{\partial z} + \frac{\partial w}{\partial r} \right) \quad (24)$$

(III) Konstitutivnost

$$\begin{bmatrix} \sigma_r \\ \sigma_z \\ \sigma_\phi \\ \tau_{rz} \end{bmatrix} = \begin{bmatrix} L + 2G & L & L & 0 \\ L & L + 2G & L & 0 \\ L & L & L + 2G & 0 \\ 0 & 0 & 0 & G \end{bmatrix} \cdot \left(\begin{bmatrix} \varepsilon_r \\ \varepsilon_z \\ \varepsilon_\phi \\ 2\gamma_{rz} \end{bmatrix} - a \begin{bmatrix} 1 \\ 1 \\ 1 \\ 0 \end{bmatrix} \right) \quad (25)$$

Robni pogoji so podani neposredno s silami in/ali pomiki (v določeni smeri), ki jih pri metodi končnih elementov upoštevamo neposredno.

2. REŠITEV ENOIZMERNEGA PRIMERA

Rotacijsko simetrični ravninski primer (ravninsko deformacijsko stanje) lahko razrešimo analitično z združitvijo enačb (11) do (16), njihovo integracijo in z upoštevanjem robnih pogojev (17) ozziroma (18).

Z vstavljivijo enačb (15) in (16) v enačbo (11) ter z upoštevanjem odvodov enačb (12) in (13), dobimo diferencialno enačbo radialnih pomikov

$$\begin{aligned} \frac{d}{dr} \left(\frac{1}{r} \frac{d}{dr}(r u) \right) &= \frac{d\varepsilon_r}{dr} + \frac{L}{L+2G} \left(\frac{d\varepsilon_\phi}{dr} + \frac{d\varepsilon_z}{dr} \right) + \\ &+ \frac{2G}{L+2G} \frac{\varepsilon_r - \varepsilon^t}{r} \end{aligned} \quad (26)$$

Pri izotropnih snoveh so termični raztezki v vseh smereh enaki, tako da sledi poenostavljenina diferencialna enačba radialnih pomikov

$$\frac{d}{dr} \left(\frac{1}{r} \frac{d}{dr}(r u) \right) = \frac{1+\nu}{1-\nu} \alpha \frac{dT(r)}{dr} \quad (27)$$

Če torej poznamo temperaturno porazdelitev $T(r)$ v valju, lahko izračunamo poteke termičnih napetosti z integracijo enačbe (27), bodisi analitično ali numerično z elektronskim digitalnim računalnikom (npr. z uporabo Simpsonove formule).

2.1. Mehanska obremenitev votlega valja

Kadar je temperatura v valju konstantna, je desna stran v enačbi (27) nič in zato velja rešitev

$$u(r) = C_1 r + C_2/r \quad (28)$$

Specifične deformacije so potem

$$\begin{aligned} \varepsilon_r &= C_1 - C_2/r^2 \\ \varepsilon_\phi &= C_1 + C_2/r^2 \end{aligned}$$

medtem ko sta glavni napetosti v r_ϕ ravnini

$$\begin{aligned} \sigma_r &= L \cdot 2C_1 + 2G(C_1 - C_2/r^2) \\ \sigma_\phi &= L \cdot 2C_1 + 2G(C_1 + C_2/r^2) \end{aligned}$$

Z upoštevanjem robnih pogojev (18) dobimo napetostne poteke

$$\sigma_r(r) = -p_a + \frac{p_a - p_b}{b^2 - a^2} \cdot b^2 \cdot (1 - a^2/r^2) \quad (29)$$

$$\sigma_\phi(r) = -p_a + \frac{p_a - p_b}{b^2 - a^2} \cdot b^2 \cdot (1 + a^2/r^2) \quad (30)$$

Posebne primere rešitve dobimo, če je kateri od tlakov (notranji ali zunanjii) nič.

2.2. Toplotna obremenitev votlega valja

Z znano temperaturo $T(r)$ dobimo rešitev enačbe (27)

$$u(r) = \frac{1+\nu}{1-\nu} a \int_a^r T(r) r dr + C_1 r + C_2/r \quad (31)$$

Z robnim pogojem (18) in vrednostma $p_a = 0$, $p_b = 0$, dobimo »čiste« termične napetosti v votlem valju, katerim po potrebi superponiramo mehanski rešitvi (29) in (30). Enačbe termičnih napetostnih potekov so [1]

$$\sigma_r(r) = \frac{\alpha E}{1-\nu} \frac{1}{r^2} \left(\frac{r^2 - a^2}{b^2 - a^2} \int_a^b T(r) r dr - \int_a^r T(r) r dr \right) \quad (32)$$

$$\begin{aligned} \sigma_\phi(r) = & \frac{\alpha E}{1-\nu} \cdot \frac{1}{r^2} \cdot \left(\frac{r^2 + a^2}{b^2 - a^2} \int_a^b T(r) r dr + \right. \\ & \left. + \int_a^r T(r) r dr - T(r) r^2 \right) \end{aligned} \quad (33)$$

medtem ko je vzdolžna napetost

$$\sigma_z = \nu \cdot (\sigma_r + \sigma_\phi) - a E T \quad (34)$$

ozziroma

$$\sigma_z(r) = \frac{\alpha E}{1-\nu} \cdot \left(\frac{2\nu}{b^2 - a^2} \int_a^b T(r) r dr - T(r) r^2 \right) \quad (35)$$

Primerna temperaturna porazdelitev [2] je npr. pri obojestranskem hlajenju valja, ki tudi sam generira toploto Q v enoti prostornine V

$$\begin{aligned} T(r) = & T_b + \frac{(Q/V)}{4\lambda} (b^2 - r^2) + \\ & + \left[T_a - T_b + \frac{(Q/V)}{4\lambda} (b^2 - a^2) \right] \frac{\ln(r/b)}{\ln(a/b)} \end{aligned} \quad (36)$$

2.3. Toplotna obremenitev polnega valja

Z upoštevanjem robnih pogojev (17) in vrednostjo $p_b = 0$ dobimo »čiste« termične napetosti v polnem valju, katerih poteki se glase [1]

$$\sigma_r(r) = \frac{\alpha E}{1-\nu} \left(\frac{1}{b^2} \int_0^b T(r) r dr - \frac{1}{r^2} \int_0^r T(r) r dr \right) \quad (37)$$

$$\sigma_\phi(r) = \frac{\alpha E}{1-\nu} \left(\frac{1}{b^2} \int_0^b T(r) r dr + \frac{1}{r^2} \int_0^r T(r) r dr - T(r) r^2 \right) \quad (38)$$

$$\sigma_z(r) = \frac{\alpha E}{1-\nu} \left(\frac{2}{b^2} \int_a^b T(r) r dr - T(r) r^2 \right) \quad (39)$$

Primerna temperaturna porazdelitev [2] v valju, ki sam generira toploto, je

$$T(r) = T_b + \frac{(Q/V)}{4\lambda} (b^2 - r^2) \quad (40)$$

Uporabimo lahko tudi natančnejše temperaturne poteke, če je npr. treba upoštevati temperaturno odvisnost toplotne prevodnosti in/ali krajevno spremenljivost toplotnih virov [3].

3. REŠITEV DVOIZMERNEGA PRIMERA

Z uvedbo numeričnega postopka reševanja po metodi končnih elementov, kjer so pomiki v posameznih elementih podani s pomiki vozlišč

$$\mathbf{u} = \sum N_i \mathbf{u}_i \quad (41)$$

dobimo kinematično zvezo med deformacijami in pomiki v elementih

$$\{\varepsilon\} = \mathbf{B} \mathbf{u}_i \quad (42)$$

kjer je matrika \mathbf{B} trikotnih vrteninskih elementov s tremi vozlišči

$$\mathbf{B} = \begin{bmatrix} \partial N_1 / \partial r & 0 & \partial N_2 / \partial r & 0 & \partial N_3 / \partial r & 0 \\ 0 & \partial N_1 / \partial z & 0 & \partial N_2 / \partial z & 0 & \partial N_3 / \partial z \\ N_1 / \bar{r} & 0 & N_2 / \bar{r} & 0 & N_3 / \bar{r} & 0 \\ \partial N_1 / \partial z & \partial N_1 / \partial r & \partial N_2 / \partial z & \partial N_2 / \partial r & \partial N_3 / \partial z & \partial N_3 / \partial r \end{bmatrix} \quad (43)$$

in je $\bar{r} = (r_1 + r_2 + r_3)/3$ radij težišča trikotnika.

Z upoštevanjem konstitutivne zveze med napetostmi in deformacijami dobimo ravnotežno enačbo, ki vsebuje enačbi (25) in (42), v posameznih končnih elementih

$$\mathbf{K}^e \mathbf{u}^e + \mathbf{f}^{te} = \mathbf{f}^e \quad (44)$$

s točnostjo elementa

$$\mathbf{K}^e = 2\pi\bar{r} \int \mathbf{B}^* \mathbf{D} \mathbf{B} dr dz = 2\pi\bar{r} A_e \mathbf{B}^* \mathbf{D} \mathbf{B} \quad (45)$$

in termičnimi silami

$$\mathbf{f}^{te} = -2\pi\bar{r} \int \mathbf{B}^* \mathbf{D} \{\varepsilon^t\} dr dz = -2\pi\bar{r} A_e \mathbf{B}^* \mathbf{D} \{\varepsilon^t\} \quad (46)$$

kjer je A_e površina prereza trikotnega elementa.

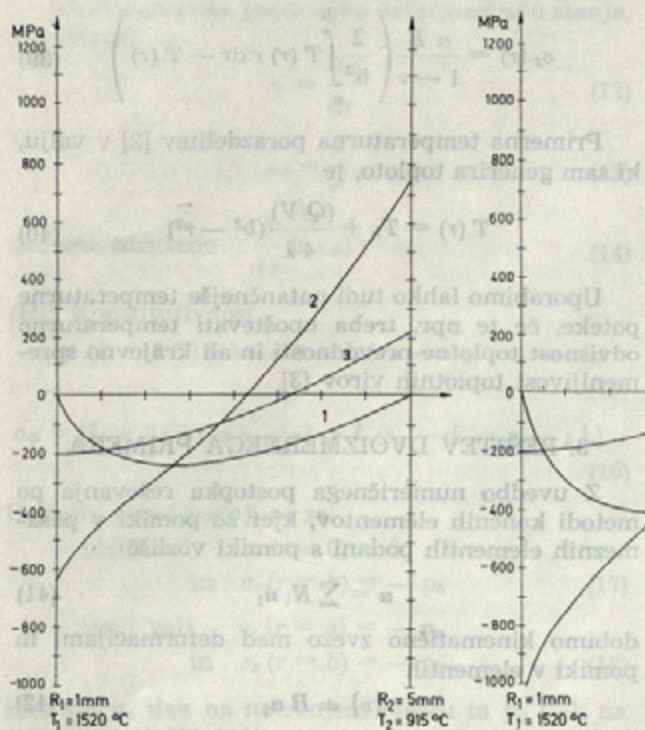
Za skupek elementov dobimo potem enačbo

$$\mathbf{K} \mathbf{u} + \mathbf{f}^t = \mathbf{f} \quad (47)$$

kjer so $\mathbf{K} = \sum \mathbf{K}^e$, $\mathbf{f}^t = \sum \mathbf{f}^{te}$ in $\mathbf{f} = \sum \mathbf{f}^e$ ustrezne točnosti in sile. Enočbo (47) zapisemo tudi v obliki

$$\mathbf{K} \mathbf{u} = \mathbf{r} \quad (48)$$

kjer vektor \mathbf{r} pomeni rezultante vseh sil v vozliščih elementov. Za reševanje sistema enačb (48)



Sl. 1. Napetosti v dolgem valju (termična obremenitev)

Sl. 2. Napetosti v dolgem valju (termična in zunana obremenitev)

1 — SIGR
2 — SIGΦ
3 — SIGZ

+ nateg
— tiak

$$\begin{aligned} E &= 1.62847 \cdot 10^5 \text{ MPa} \\ v &= 0.30 \\ \alpha &= 0.6 \cdot 10^{-5} \text{ K}^{-1} \end{aligned}$$

uporabimo razpoložljive numerične postopke, npr. iteracijo Gauss-Seidel ($k = 0, 1, \dots$)

$$\frac{\mathbf{u}_r^{k+1}}{r} = \frac{\mathbf{u}_r^k}{r} + \omega \mathbf{K}_{rr}^{-1} \left[\mathbf{r}_r - \sum_{s=1}^{r-1} \mathbf{K}_{rs} \mathbf{u}_s^{k+1} - \sum_{s=r}^m \mathbf{K}_{rs} \mathbf{u}_s^k \right] \quad (49)$$

kjer so \mathbf{u}_r pomik vozlišča r , ω pospešilni količnik konvergencije in \mathbf{K}_{rr}^{-1} podajna matrika vozlišča. Rob-

ne pogoje upoštevamo tako, da prilagodimo podajno matriko ustreznih vozlišč, kjer so robni pogoji predpisani, npr. s smerjo gibanja.

Iz dobljenih pomikov potem izvrednotimo napetosti v težiščih končnih elementov (saj smo vzeli najenostavnnejše linearne elemente)

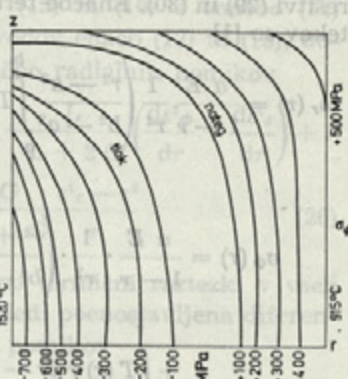
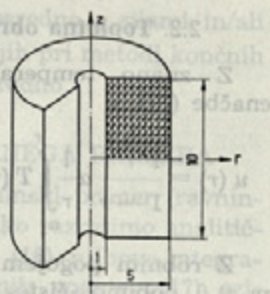
$$\{\sigma\} = D(\mathbf{B} \mathbf{u}_l - \{\epsilon^l\}) \quad (50)$$

Temperaturne porazdelitve $T(r, z)$ moramo poznati pred računanjem termoelastičnega problema vrtenine. Izračunamo jih z ustreznimi računalniškimi programi po metodi končnih elementov [4].

4. IZRAČUNANI ZGLEDI

V priloženih slikah 1, 2 in 3 je zbranih nekaj napetostnih porazdelitev v vrteninah (enoizmerni in

dvoizmerni primeri votlih in polnih valjev) gorivnih elementov jedrskih reaktorjev. Opisani postopki pa so seveda veljavni za vse primere v tehniki, kjer koli imamo opravka s termičnimi napetostmi v vrteninah.



Sl. 3. Napetosti v kratkem valju (termična obremenitev)

dvoizmerni primeri votlih in polnih valjev) gorivnih elementov jedrskih reaktorjev. Opisani postopki pa so seveda veljavni za vse primere v tehniki, kjer koli imamo opravka s termičnimi napetostmi v vrteninah.

5. UPORABLJENI VIRI

- [1] S. Timošenko, J. N. Goodier, "Theory of Elasticity", Tokyo 1951.
- [2] A. Alujević, »Prenos topote I.« (skripta), VTS Maribor 1975.
- [3] A. Alujević, »Prenos topote v tabletu keramičnega gorivnega elementa«, Strojniški vestnik 14, 141, Ljubljana 1968.
- [4] A. Alujević, B. Eysink, J. Head, »TEMPEL — program končnih elementov za izračunavanje temperaturnih polj«, Strojniški vestnik 20, 161, Ljubljana 1974.
- [5] A. Alujević, J. L. Head, "Heat Transfer and Stress-Strain Analysis of Tubular Fuel Elements", Atomkernenergie 20, 281, München 1973.
- [6] A. Alujević, J. L. Head, "Fuel Element Stresses at Discontinuities and Interactions by Finite Elements in Two Dimensions", Atomkernenergie 21, 75, München 1973.
- [7] A. Alujević, »Postopek končnih elementov za računanje termičnih napetosti (prostorski, vrteninski in ravniški primeri obravnavne)«, Strojniški vestnik 19, 169, Ljubljana 1973.

Avtorjev naslov:

Docent dr. Andro Alujević
Oddelek za strojništvo
Visoka tehniška šola
Univerza v Mariboru
(znanstveni sodelavec Inštituta
J. Stefan, Univerza v Ljubljani)